

Figura 107. Simulación de UIT-R P.526-13, La Popa canal 17

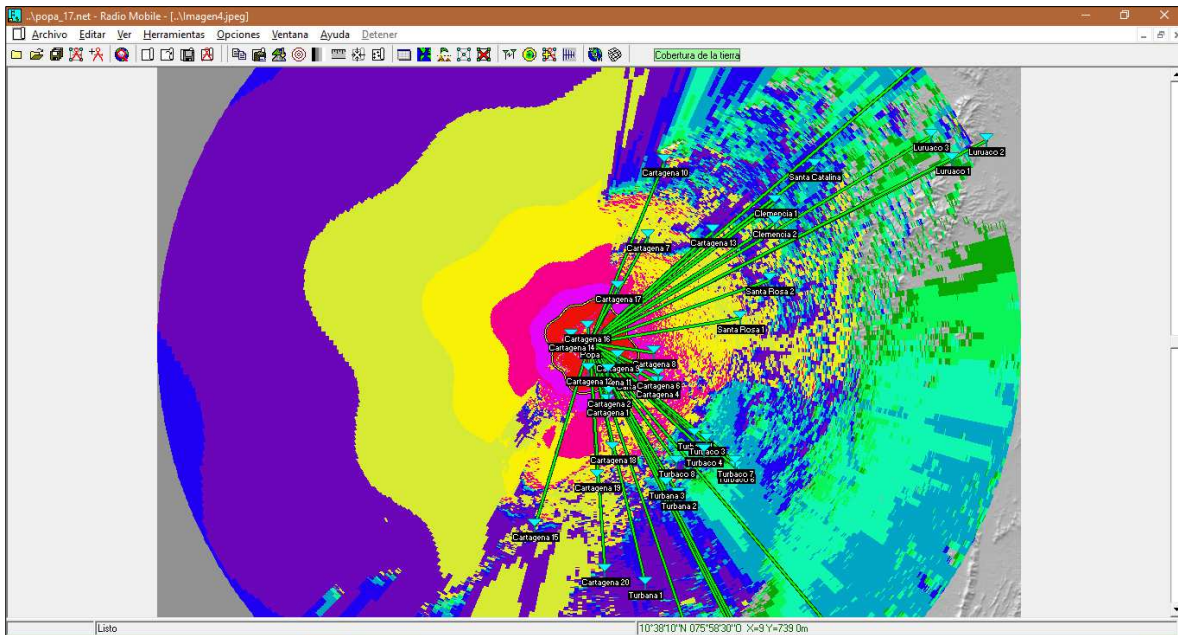


Figura 108. Simulación Longley Rice, La Popa canal 17

Estación La Pita canal 16

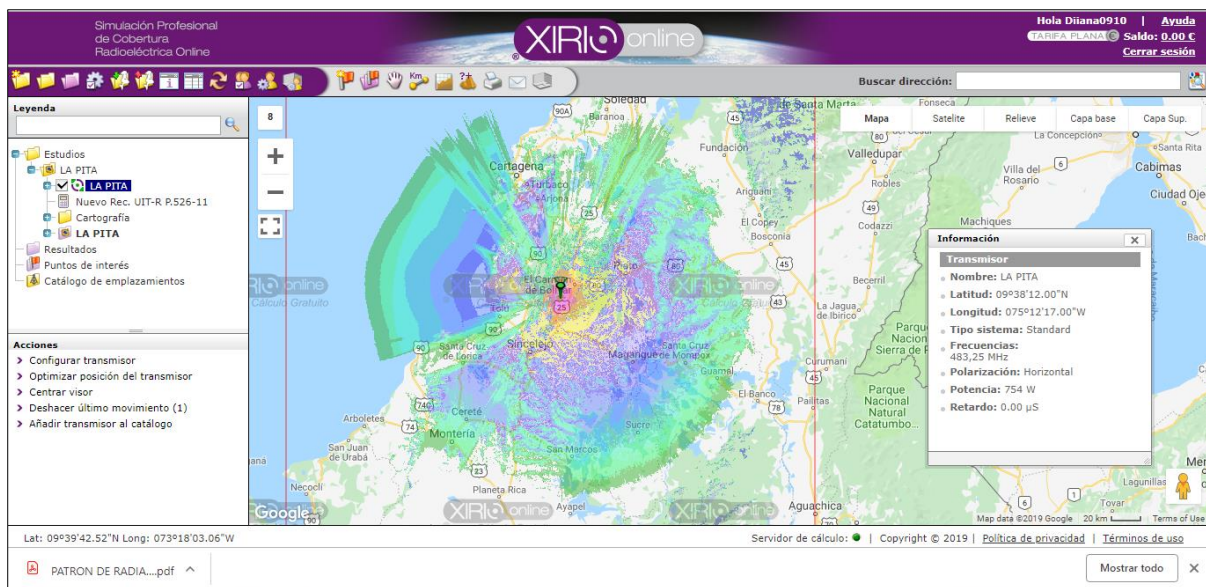


Figura 109. Simulación de UIT-R P.526-11, La Pita canal 16

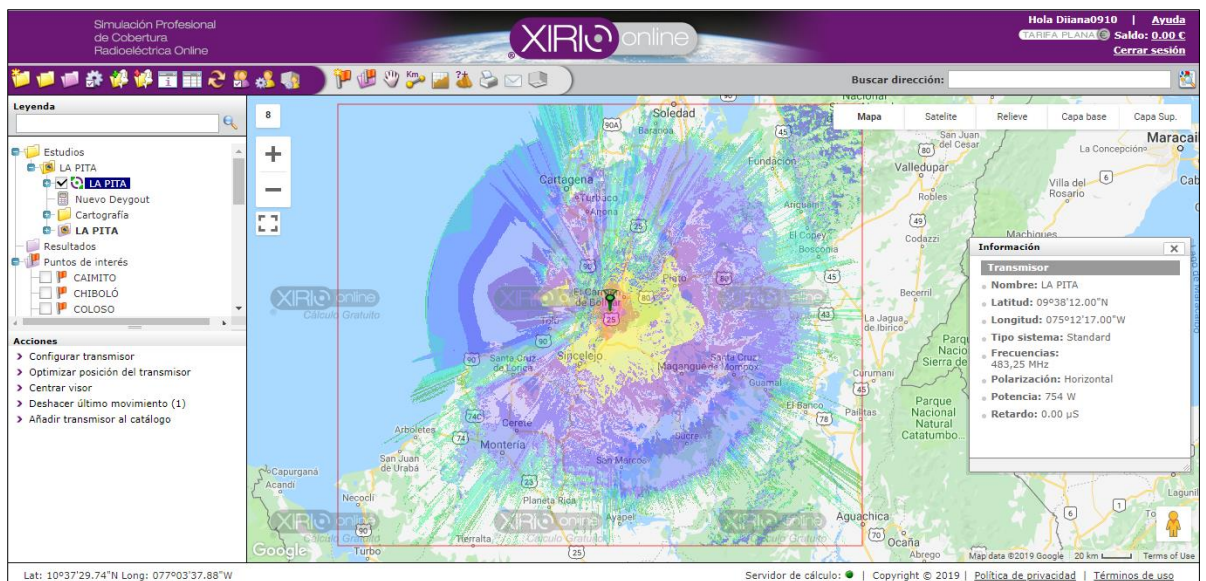


Figura 110. Simulación de Deygout, La Pita canal 16

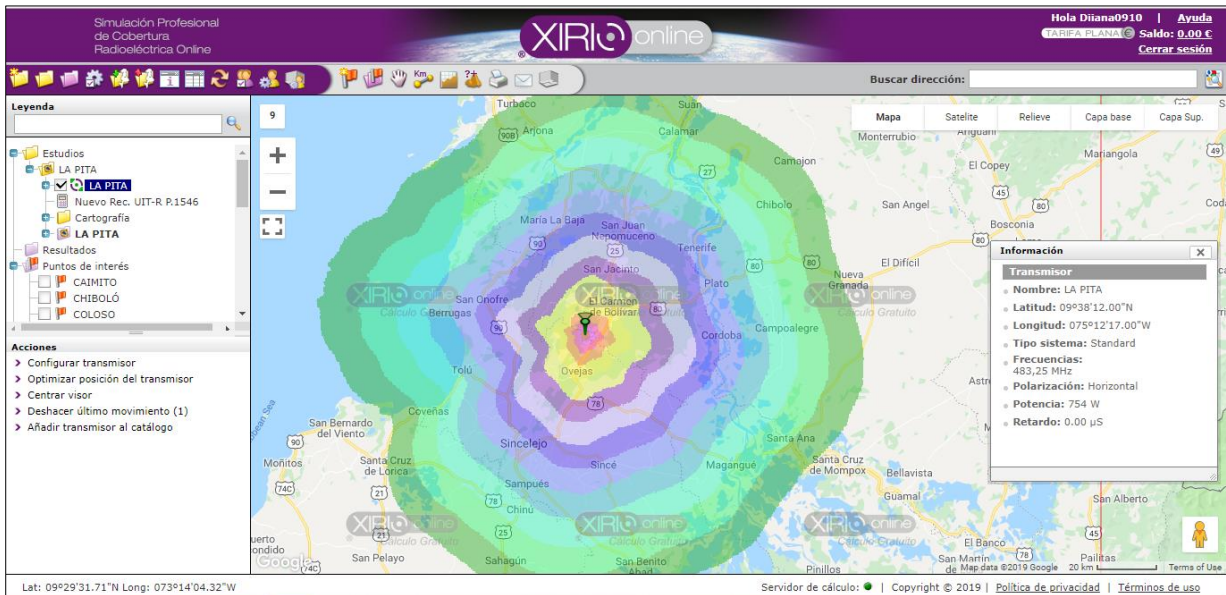


Figura 111. Simulación de UIT-R P.1546, La Pita canal 16

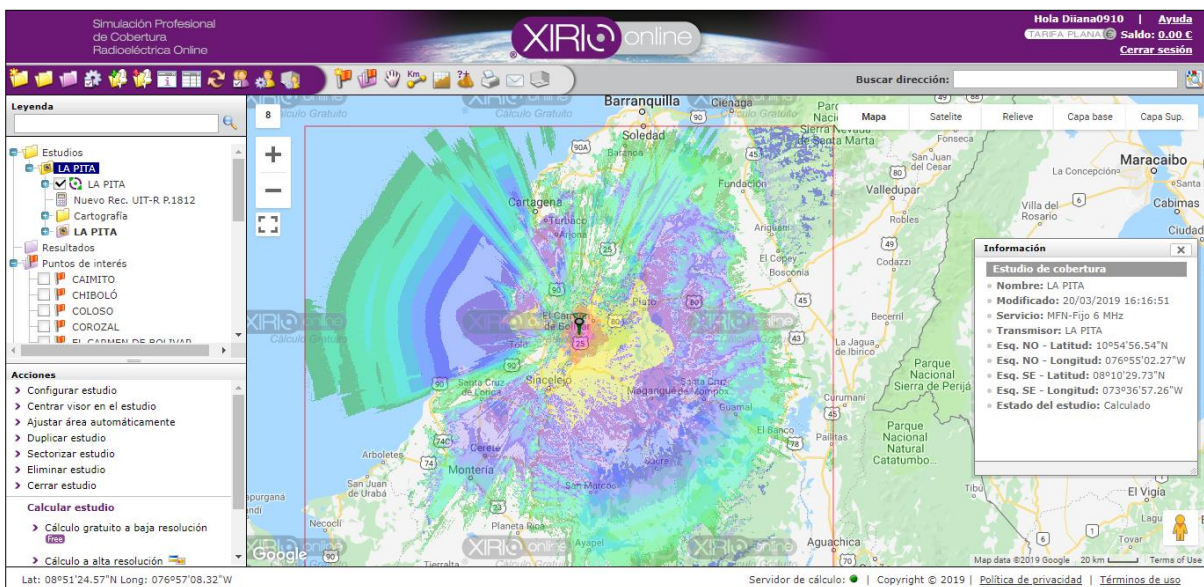


Figura 112. Simulación de UIT-R P.1812, La Pita canal 16

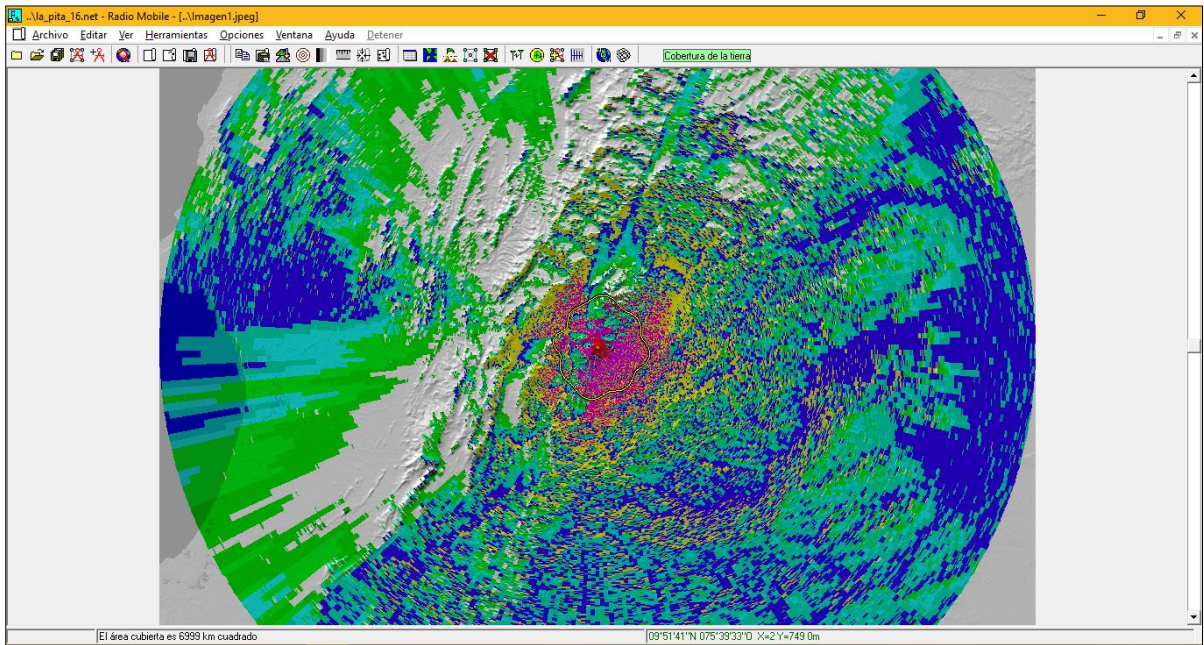


Figura 115. Simulación Longley Rice, La Pita canal 16

Estación La Pita, canal 17

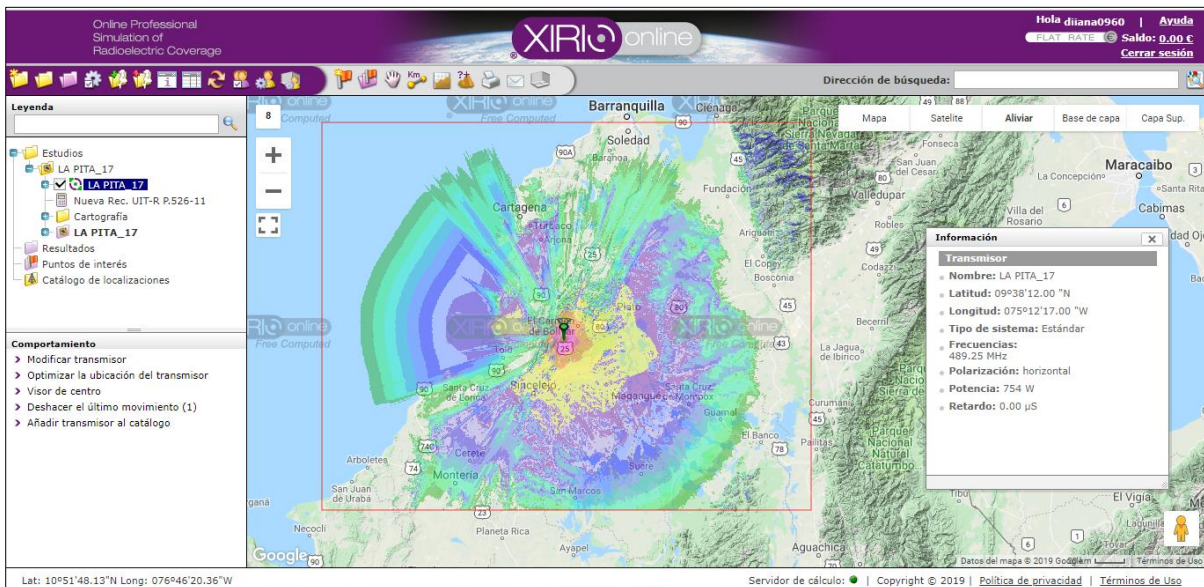


Figura 116. Simulación de UIT-R P.526-11, La Pita canal 17

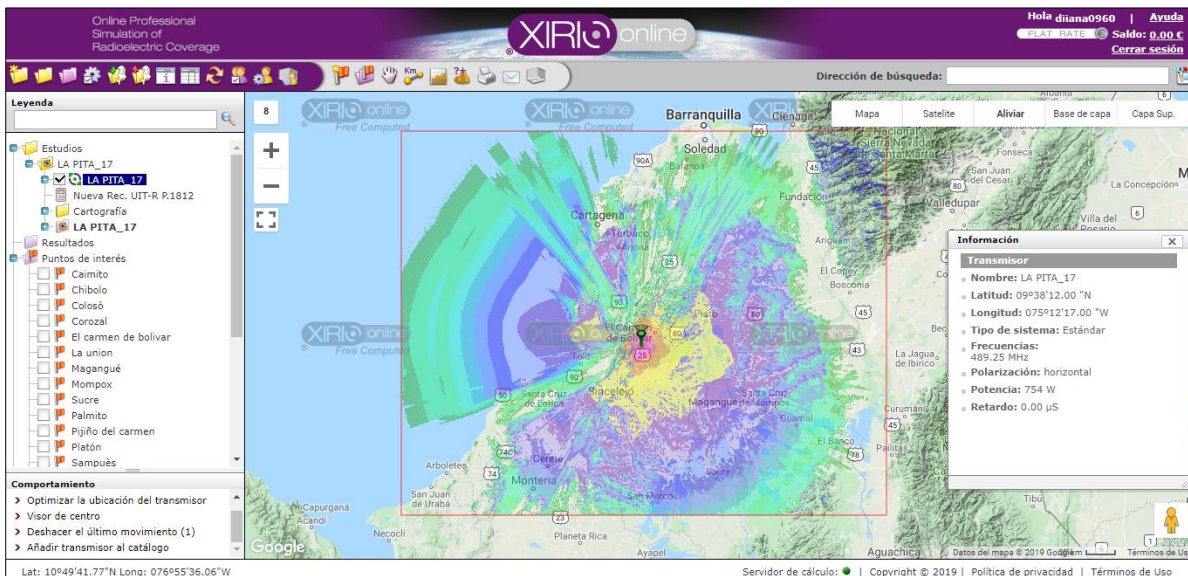


Figura 119. Simulación de UIT-R P.1812, La Pita canal 17

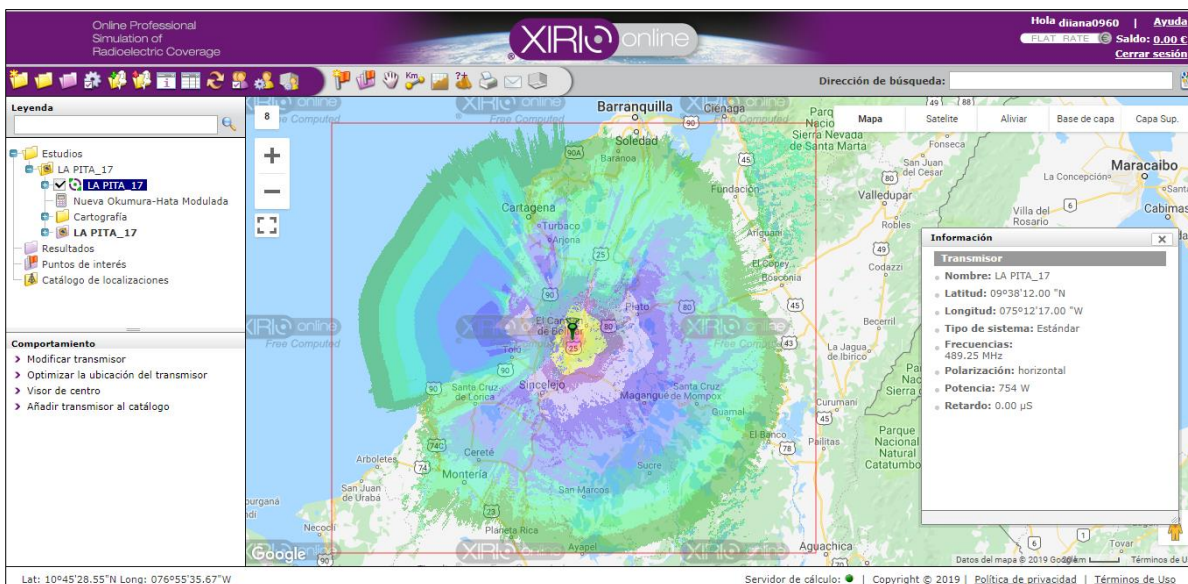


Figura 120. Simulación de Okumura-Hata, La Pita canal 17

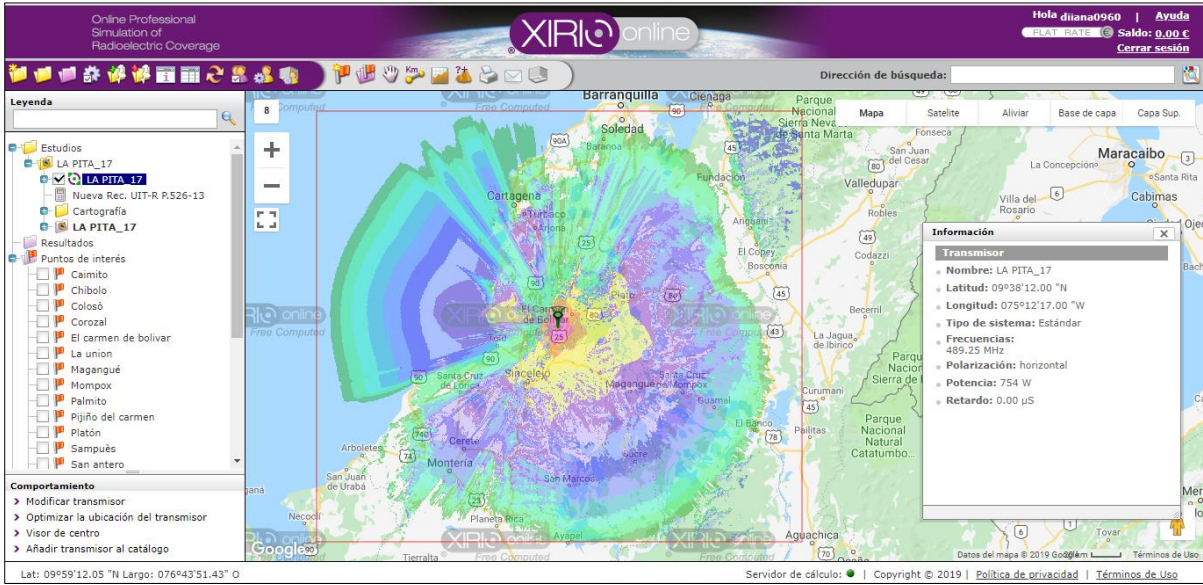


Figura 121. Simulación de UIT-R P.526-13, La Pita canal 17

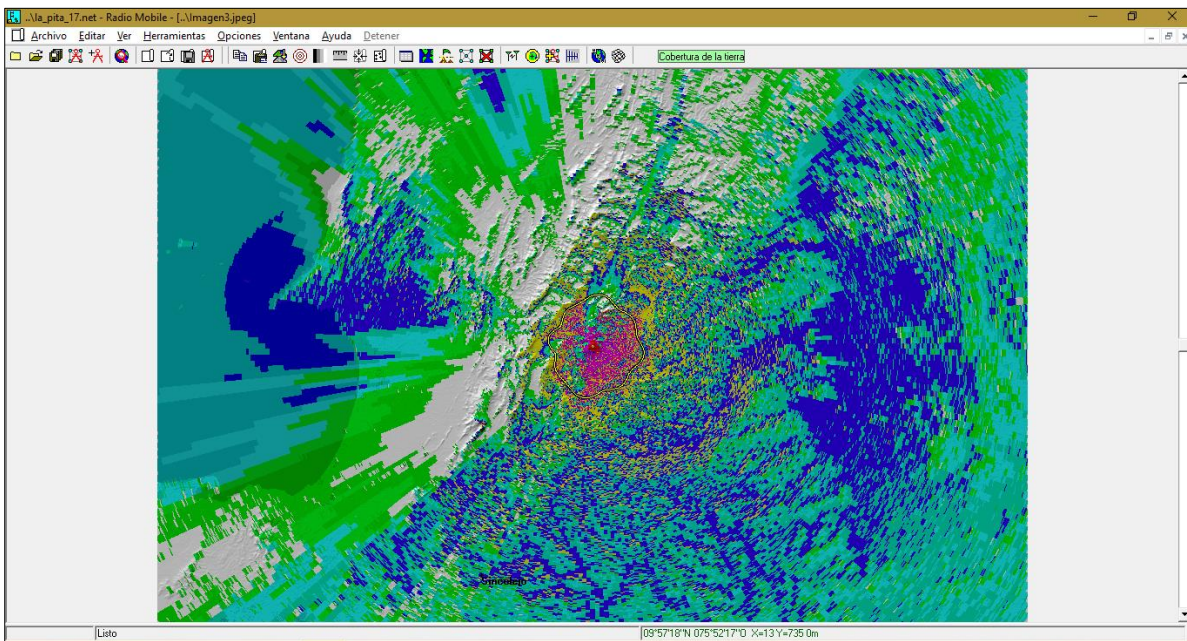


Figura 122. Simulación Longley Rice, La Pita canal 17

Estación Montería, canal 16

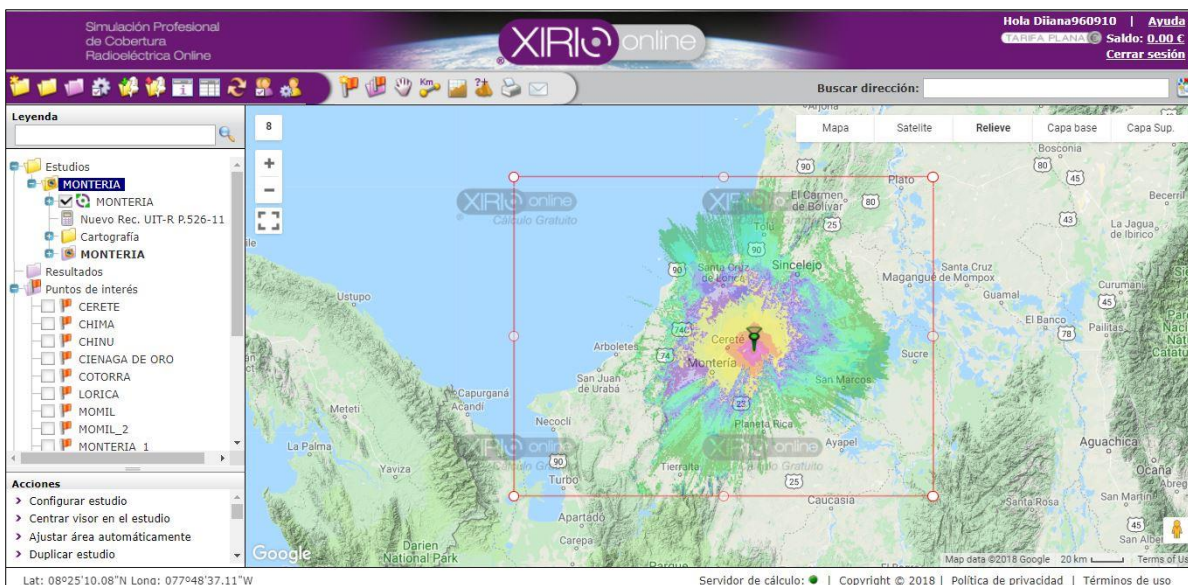


Figura 123. Simulación de UIT-R P.526-11, Montería canal 16

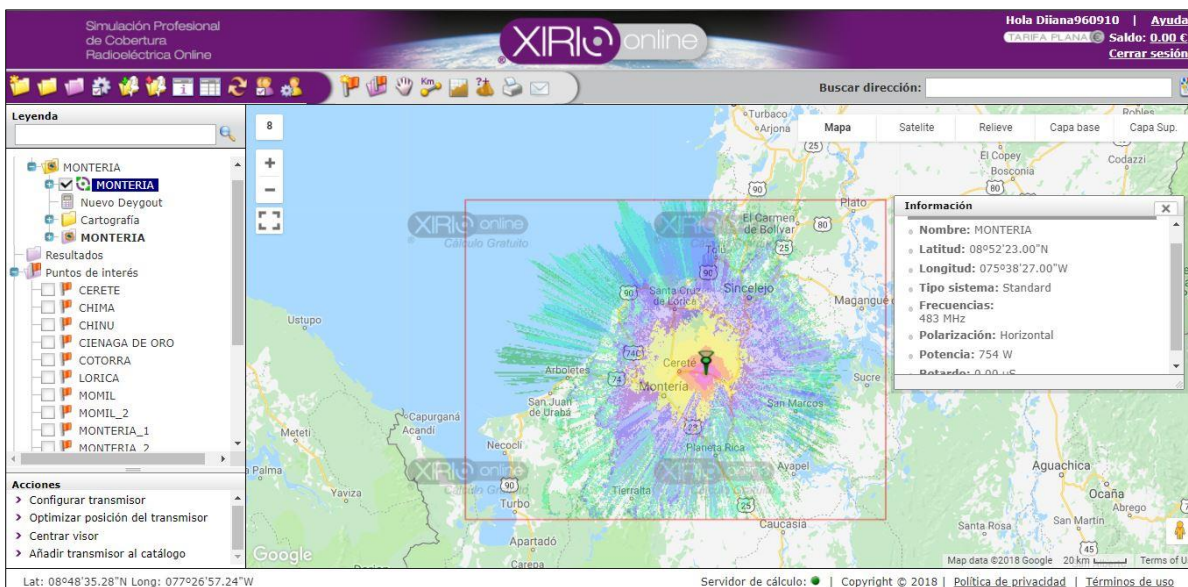


Figura 124. Simulación de Deygout, Montería canal 16

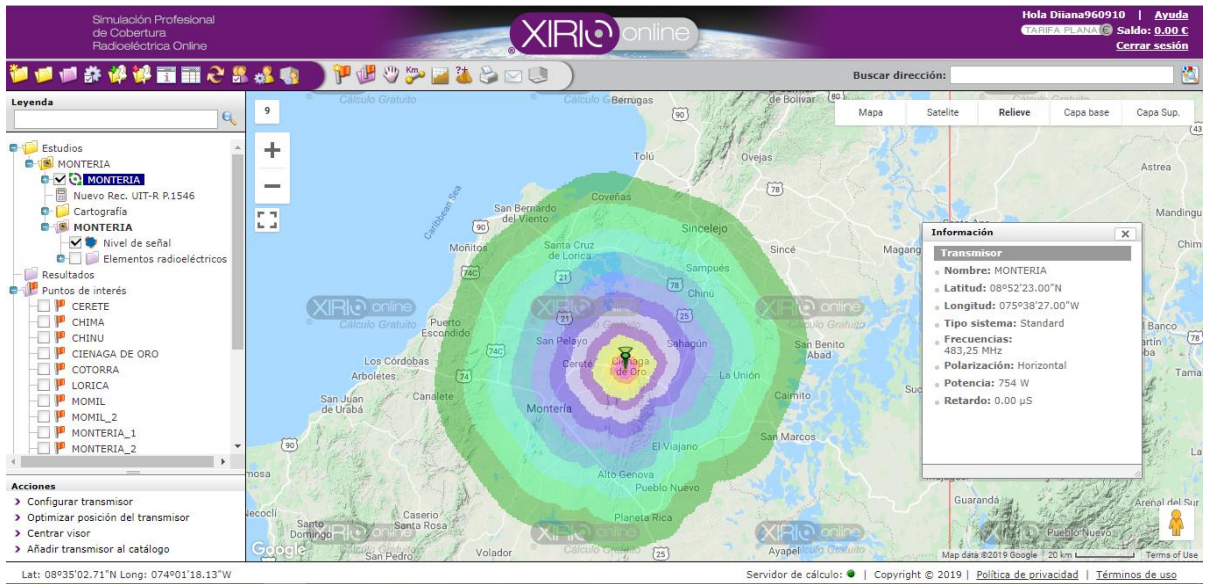


Figura 125. Simulación de UIT-R P.1546, Montería canal 16

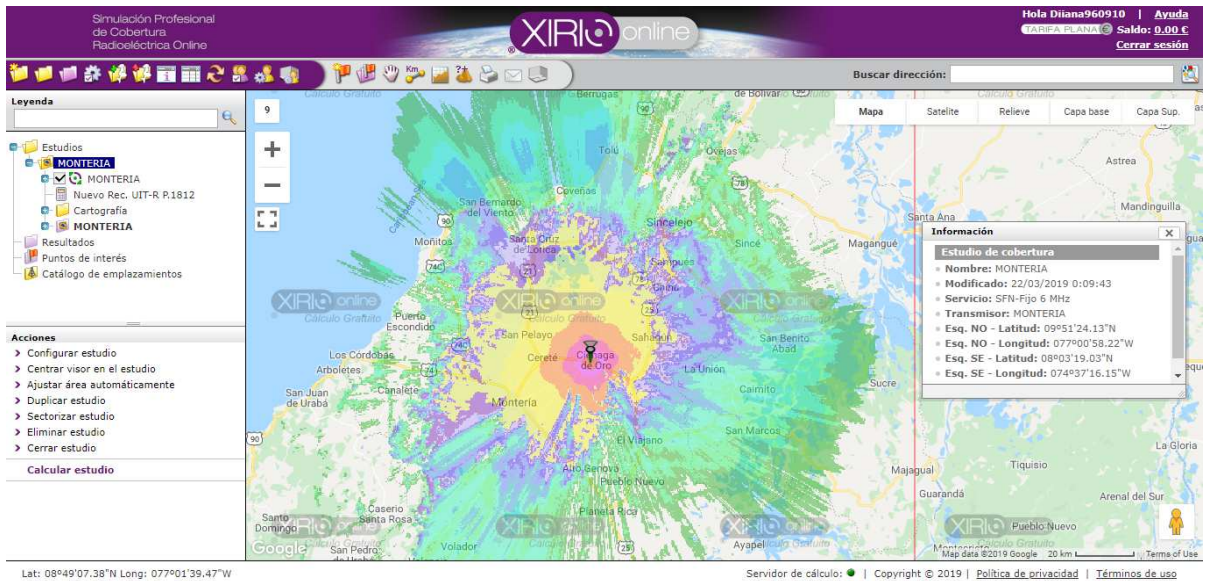


Figura 126. Simulación de UIT-R P.1812, Montería canal 16

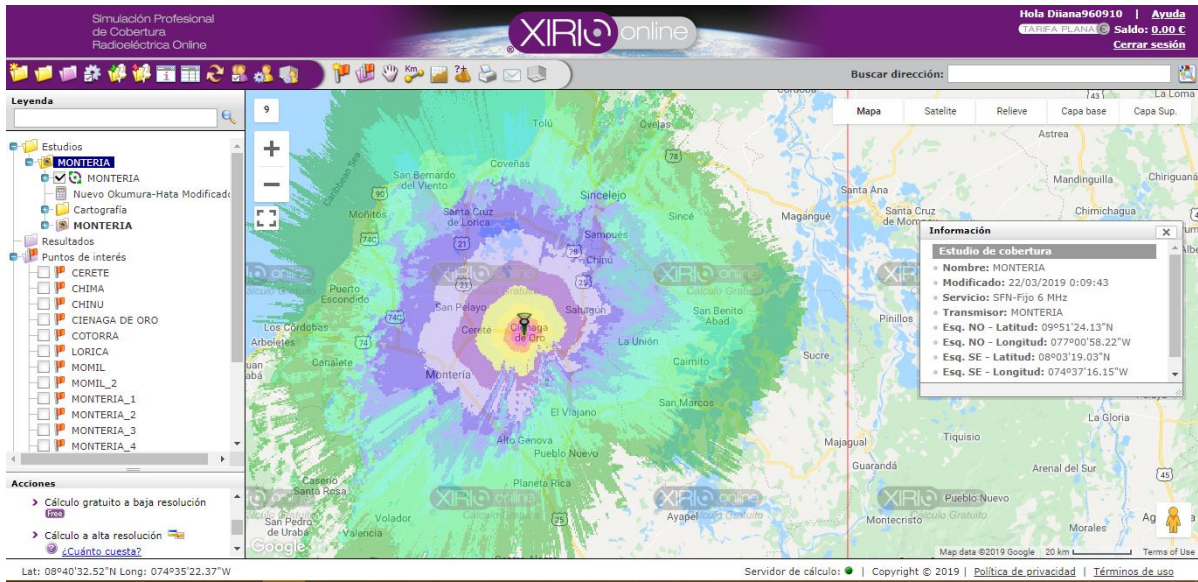


Figura 127. Simulación de Okumura-Hata, Montería canal 16

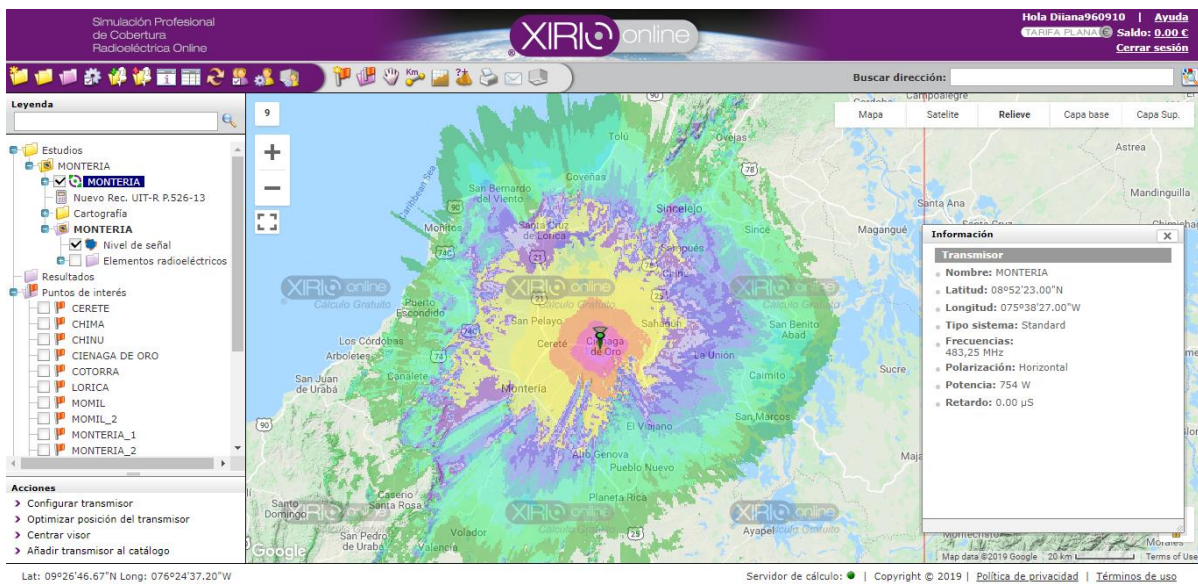


Figura 128. Simulación de UIT-R P.526-13, Montería canal 16